# **ФИЗИЧЕСКАЯ ХИМИЯ ДИСПЕРСНЫХ СИСТЕМ**И ПОВЕРХНОСТНЫХ ЯВЛЕНИЙ

УДК:621,797

## ОКИСЛЕНИЕ ПОВЕРХНОСТИ ПОЛИКРИСТАЛЛИЧЕСКОГО БОРА

© 2024 г. Л.А. Акашев<sup>а</sup>, Н.А. Попов<sup>а, \*</sup>, Ю. В. Корх<sup>b</sup>, Т. В. Кузнецова<sup>b, c</sup>, В. Г. Шевченко<sup>a</sup>, Л. Ю. Булдакова<sup>a</sup>

<sup>a</sup> Институт химии твердого тела УрО РАН, 620990, Екатеринбург, Россия

<sup>b</sup> Институт физики металлов имени М. Н. Михеева УрО РАН, 620108, Екатеринбург, Россия

<sup>c</sup> УрФУ имени первого Президента России Б. Н. Ельцина, 620002, Екатеринбург, Россия

\*e-mail: n168@mail.ru; akashev-ihim@mail.ru

Поступила в редакцию 15.08.2023 г.

После доработки 15.08.2023 г.

Принята к публикации 22.10.2023 г.

Методом одноволновой эллипсометрии in-situ исследован рост оксидной пленки на поверхности поликристаллического  $\beta$ -ромбоэдрического бора в процессе термического окисления на воздухе при температурах 400, 500, 600 и 700°С. Показано, что при температурах выше температуры плавления оксида  $B_2O_3$  процесс окисления значительно активизируется. После достижения максимума толщины оксидной пленки при 500°С, 600°С и 700°С наблюдается снижение ее толщины. Этот факт, по нашему мнению, связан с установлением на поверхности динамического равновесия между процессами роста пленки за счет диффузии ионов бора и кислорода и процессом испарения жидкого оксида. Зафиксировано постепенное снижение показателя преломления подложки (чистого бора) в процессе отжига с 3.1 до 2.95, что связано с изменением ее пористости. Методом КРС установлено, что после отжига при 700°С на поверхности, кроме оксида  $B_2O_3$  присутствуют следы субоксида  $B_6O$ , наблюдавшегося ранее при окислении бора при более высоких температурах.

*Ключевые слова:* поликристаллический бор, термическое окисление поверхности, эллипсометрия **DOI:** 10.31857/S0044453724070126, **EDN:** PUTWEQ

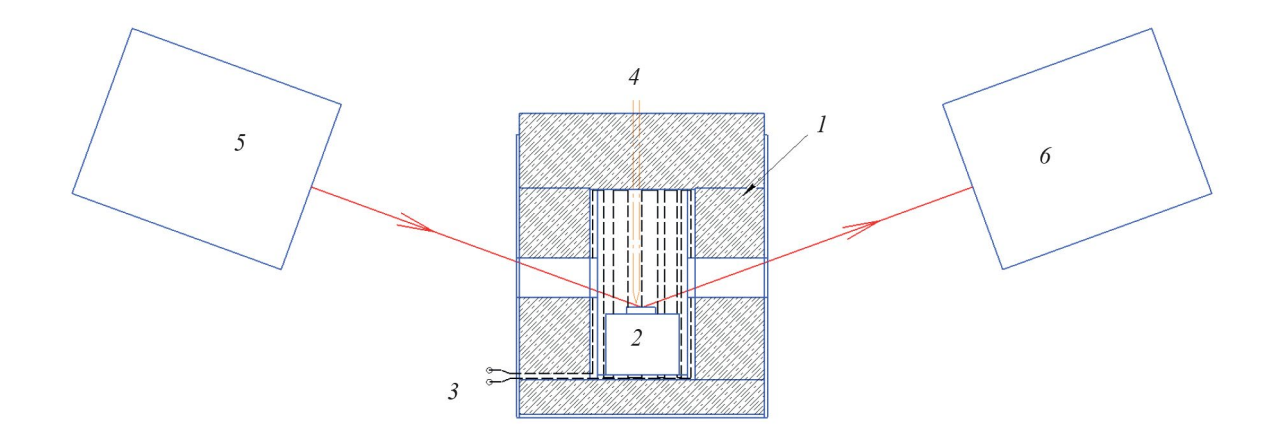
## **ВВЕДЕНИЕ**

Влияние оксидной пленки на стадиях воспламенения и горения бора на воздухе и других окислительных средах рассмотрено во множестве работ (например, [1-5]). Модели, объясняющие механизм этих реакций, в большинстве случаев, касаются сферических частиц, однако существуют и планарные модели (2) для массивного бора, представляющего собой плоскую полубесконечную поверхность с тонкой пленкой оксида на ее поверхности. Установлено, что, в целом, процессы окисления при высоких температурах могут сопровождаться реакциями образования и испарения пленок оксидов  $B_2O_3$ ,  $BO_2$ ,  $B_2O_2$ , а также паров ортоборной  $H_3BO_3$  и метаборной кислот  $HBO_2$  [1, 2, 4, 6-8], при этом, структура оксидных пленок и их поведение при термическом нагреве зависит в от состава окислительной среды, парциального давления кислорода, размера частиц [3, 9, 10]. Наиболее часто используемым экспериментальным методом, дающим кинетическую информацию in-situ о начальных стадиях процесса окисления бора при температурах до 1500°C является термогравиметрия

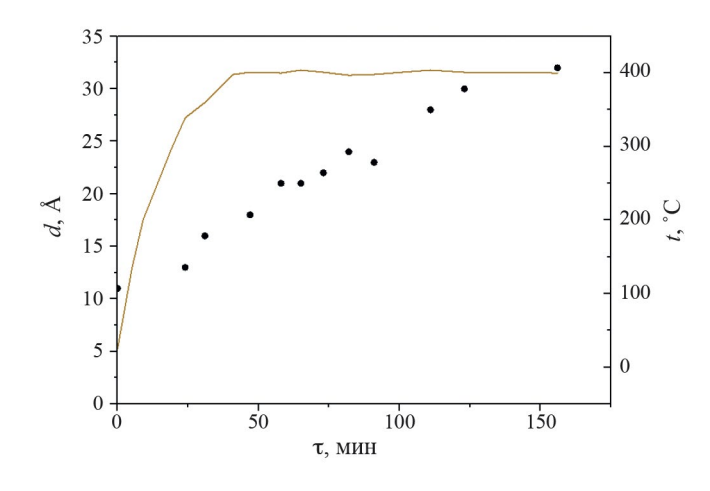
с ДСК [11, 12]. Методы непосредственного исследования поверхности типа РФЭС [13], EDS и КР-спектроскопии обычно применялись до или после процесса окисления (горения) образцов бора. В данной статье мы исследовали рост оксидной пленки и изменение ее оптических постоянных на поверхности массивного бора методом эллипсометрии непосредственно в ходе его термического нагрева на воздухе при различных температурах от 400 до 700°С.

#### ЭКСПЕРИМЕНТАЛЬНАЯ ЧАСТЬ

Исследования проводили на отполированной поверхности поликристаллического бора. Из-за особой твердости бора, обработка и полировка поверхности образца проводилась алмазными абразивными инструментами и пастами. Образец поликристаллического спеченного бора изготовлен по ТУ 113-12-11.106-88 имел чистоту 97.5 мас. %. Химический анализ показал в нем наличие до 1 мас. % примеси Мg, что свидетельствует о металлотермическом происхождении образца [14]. С помощью газоанализатора углерода и серы МЕТАВАК



**Рис. 1.** Схема нагревательной ячейки для эллипсометрических измерений; I—нагревательная печь с крышкой, 2 — столик с образцом, 3 — выводы для подключения нихромового нагревателя к источнику питания, 4 — термопара, 5,6 — блок поляризатора и анализатора эллипсометра ЛЭФ-3М (длина волны  $\lambda$ =0.6328 мкм, угол падения луча —  $70^\circ$ ).



**Рис. 2.** Зависимость толщины оксидной пленки от времени окисления при 400°C (точки) и кривая нагрева (сплошная линия).

СS30 было определено, что содержание примесей углерода в образце составляет 1.19 мас. %. Рентгенофазовый анализ (Shimadzu,  $CuK_{\alpha 1}$ -излучение), проведенный на измельченном образце, указывает на наличие ( $\beta$ )-ромбоэдрической фазы элементарного бора, а также примеси карбида близкого по составу к  $B_{9,29}$ С. Исходя из содержания углерода 1.19 мас. %, расчет содержания карбидной фазы в образце дает 11.14 мас. %  $B_{9,29}$ С

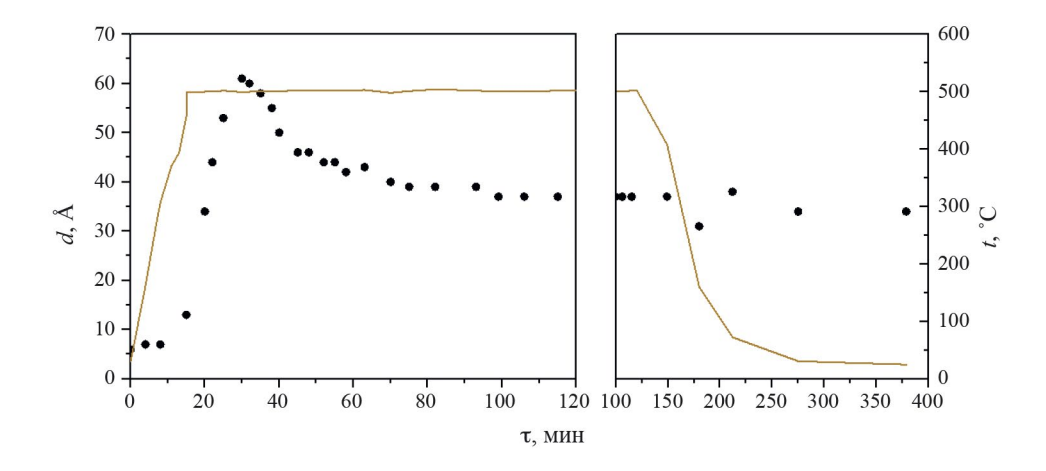
На рис. 1 изображена схема нагревательной ячейки, используемой для эллипсометрического исследования окисления поверхности бора. Ячейка представляет собой миниатюрную печь, оснащенную отверстиями для входа и выхода лазерного луча. Нагревательным элементом ячейки является нихромовая проволока (∅ 0.8 мм), подключенная к источнику постоянного или переменного тока.

Исследование поверхности образца проводили іпsitu, т.е. непосредственно в ходе нагрева и выдержки при заданных температурах. Для обработки эллипсометрических измерений (параметров  $\Delta$  и  $\psi$ ) и расчета толщины оксидной пленки и ее изменений в процессе окисления бора мы использовали однослойную модель, в которой подложка бора при длине волны  $\lambda$ =0.6328 мкм имела показатель преломления  $n_2$ =3.017, коэффициент поглощения  $k_2 = 0.01$ . Пленка оксида, в свою очередь, имела показатель преломления  $n_1$ =1.46, коэффициент поглощения  $k_1$ =0. Указанные значения оптических констант были определены методом иммерсионной эллипсометрии. В качестве внешних сред, в которых измерялись отполированные и слегка окисленные поликристаллические образцы, использовались этиловый спирт ( $n_0$ =1.364) и иммерсионное масло для микроскопии ( $n_0$ =1.51, ГОСТ 13739-78, тип А). Следует упомянуть, что этиловый спирт хорошо растворял естественную оксидную пленку, поэтому  $n_2$  и  $k_2$  чистой поверхности бора были определены с высокой точностью. Полученные значения близки к литературным данным [15].

Исследования морфологии поверхности проводили на сканирующем электронном микроскопе JSM-6390LA. Исследования по спектроскопии комбинационного рассеяния (КРС) проводили на приборе Confotec MR200 (SOL Instruments, длина волны возбуждающего излучения 532 нм, мощность 7.6—12 мВт).

## ОБСУЖДЕНИЕ РЕЗУЛЬТАТОВ

На рис. 2 представлена зависимость толщины оксидной пленки на поверхности поликристаллического бора от времени его нагрева и выдержки при температуре 400°C, измеренная методом эллипсометрии.



**Рис. 3.** Зависимость толщины оксидной пленки от времени окисления при 500°C (точки) и кривая нагрева (сплошная линия).

Сплошная кривая — зависимость температуры от времени. Здесь видно, что прирост толщины оксидной пленки начался еще до достижения образцом заданной температуры  $400^{\circ}$ С. Обработка эллипсометрических параметров показала, что после достижения образом  $400^{\circ}$ С и до конца выдержки (156мин) наблюдалось некоторое снижение значения показателя преломления  $n_2$  подложки (чистого бора без пленки) с 3.017 до 2.98, что может быть связано с изменением его морфологии в процессе окисления или образованием тонкого переходного слоя  $B_2O_2$  на границе раздела бора и его оксидной пленки. При этом, оптические константы последней не изменялись. Рост толщины пленки продолжался на всем интервале выдержки.

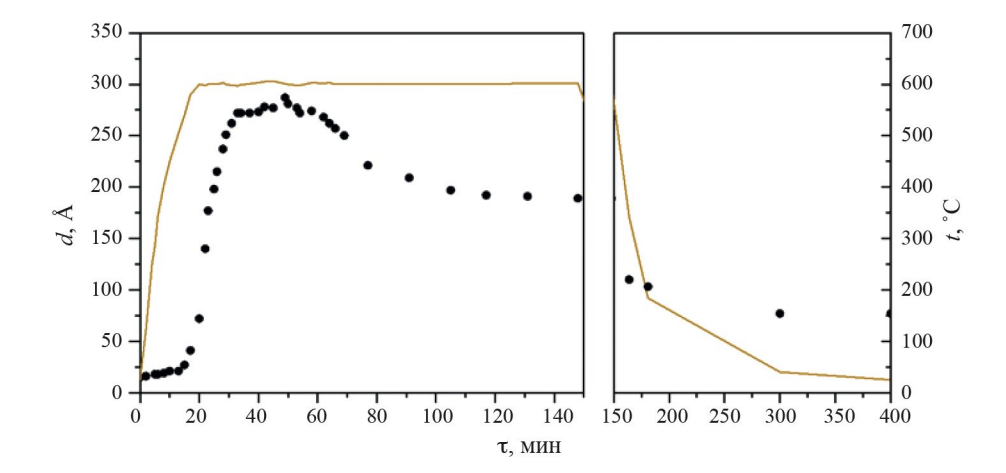
Нагрев и выдержка образца при 500°C на воздухе (рис. 3) дает несколько больший прирост в толщине оксидной пленки. Толщина оксидного слоя за 30 минут нагрева достигает максимального значения 61 Å и далее уменьшается до 35–40 Å. Как и при 400°C, во всем интервале окисления наблюдалось уменьшение  $n_2$  чистого бора до 2.96, а после отключения нагрева образца (рис. 3, правый график), при температурах ниже 400 упало до 2.9. Мы предполагаем, что такое поведение оксидной пленки обусловлено процессами ее частичного испарения в газовую фазу [9, 12]. Сначала, при нагреве образца идет процесс утолщения оксидного слоя, скорость которого определяется диффузией ионов кислорода к поверхности бора, а максимальная толщина — температурой нагрева. Расплавленный при  $480^{\circ}$ C оксид  $B_2O_3$  дополнительно вступает во взаимодействие с чистым бором с образованием  $B_2O_2$  [12]. В работе [16] методом РФЭС было показано, что пленка  $B_2O_2$ , осажденная на поверхности бора также может разлагаться до бора и  $B_2O_3$  в диапазоне температур 600-800 К (327-527°С). Таким образом, наличие метастабильного диоксида

дибора при данной температуре (500°С), а также локальный саморазогрев поверхности образца при его окислении могут быть причиной частичного испарения пленки. Последующая стабилизация толщины пленки связана с достижением динамического равновесия между процессами диффузионного роста пленки и ее испарением.

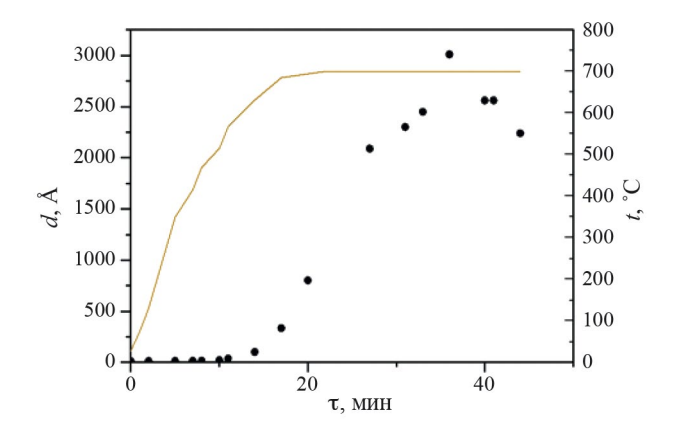
При температуре 600°C окисление поверхности образца также сопровождается резким возрастанием толщины оксидной пленки с последующим ее уменьшением (рис. 4). При этом, максимальная толшина оказалась в 4.5 раза выше, чем при 500°C. Наблюдается аррениусовская зависимость скорости реакции от температуры, относящаяся к одному и тому же механизму роста, т.е. диффузии ионов кислорода к поверхности бора. После частичного испарения, толщина пленки также стабилизируется. Стоит отметить ее резкое снижение после начала охлаждения образца. По-видимому, при динамическом равновесии, жидкая оксидная пленка имеет низкую плотность, которая существенно увеличивается при остывании и переходе в твердое состояние.

При 700°С (рис. 5) поверхность образца окисляется еще более интенсивно. Однако, как и в предыдущих случаях, после достижения максимальной толщины оксида (3010 Å), было зафиксировано ее снижение. Результаты измерений показали рост коэффициента поглощения  $k_1$  пленки от 0 до 0.34 во всем интервале окисления. Стабилизацию толщины не удалось достоверно зафиксировать из-за эффектов интерференции, наблюдаемых при больших значениях толщин пленок.

Морфология исследуемой поверхности образца до и после окисления при 700°С показана на рис. 6 и 7. На микрофотографиях, сделанных электронным микроскопом видно, что поверхность имеет некоторую пористость, а также небольшие



**Рис. 4.** Зависимость толщины оксидной пленки от времени окисления при 600°C (точки) и кривая нагрева (сплошная линия).



**Рис. 5.** Зависимость толщины оксидной пленки от времени окисления при 700°C (точки) и кривая нагрева (сплошная линия).

включения другой фазы, наиболее хорошо видимые в режиме отраженных электронов (BSE). Coгласно точечному микроанализу (EDS), часть этих включений относятся к фазе карбида бора, другая доля включений содержит соединения кальция. Довольно крупные светлые участки, наблюдаемые в режиме SEI (рис. 6, 7, рисунки слева), по-нашему мнению, представляют собой разнонаправленные кристаллиты бора с несколько отличающейся от основной матрицы бора структурой поверхности. На микрофотографиях после окисления при 700°C (рис. 7) границы этих кристаллитов становятся хорошо выражены и они, по-видимому, составляют основу образца поликристаллического бора. При термическом нагреве жидкая оксидная пленка обволакивает эти кристаллиты, а при остывании «склеивает» их наподобие композитной структуры. Морфология образца, при этом, существенно

изменяется, что также отражается в изменениях оптических параметров подложки  $(n_2, k_2)$ .

Дополнительным методом анализа поверхности образца до и после окисления в данной работе являлась спектроскопия комбинационного рассеяния света. На рис. 8(а, б) показаны изображения тех же поверхностей, что и на рис. 6 и 7, однако сделанных методом оптической микроскопии в отраженном свете. В данном случае, темные участки на картинках представляют собой углубления (поры) между кристаллитами. На приборе Confotec MR200 были сняты спектры КРС полированной (исходной) поверхности (рис. 8а), а также спектры с темных и светлых участков окисленной поверхности (рис. 8б). Данные спектры показаны ниже на рис. 9.

Позиции детектированных пиков и их интерпретация приведены в таблице 1. Спектры КРС отполированной поверхности соответствуют спектрам В-ромбоэдрического бора (В-В) [17–19]. Спектры исходной поверхности менее интенсивные по сравнению с окисленной. Для окисленной поверхности бора выявлены спектры двух типов. Спектры, детектированные на темных участках (рис. 8б), имеют наиболее интенсивные узкие пики (максимальный пик на частоте  $648 \text{ см}^{-1}$ ). Спектры, детектированные на светлых участках (тот же рисунок) имеют менее интенсивные и уширенные пики (максимальный пик на частоте  $811 \text{ см}^{-1}$ ). Высокая интенсивность спектров, снятых в углублениях и порах, свидетельствует о большом количестве закристаллизованной оксидной фазы, скапливаемой в них в процессе отжига в еще жидком состоянии. На поверхности кристаллитов (светлых участках) количества оксида значительно меньше. Следует упомянуть, что толщины пленок, измеренные методом эллипсометрии (рис. 2-5) представляют

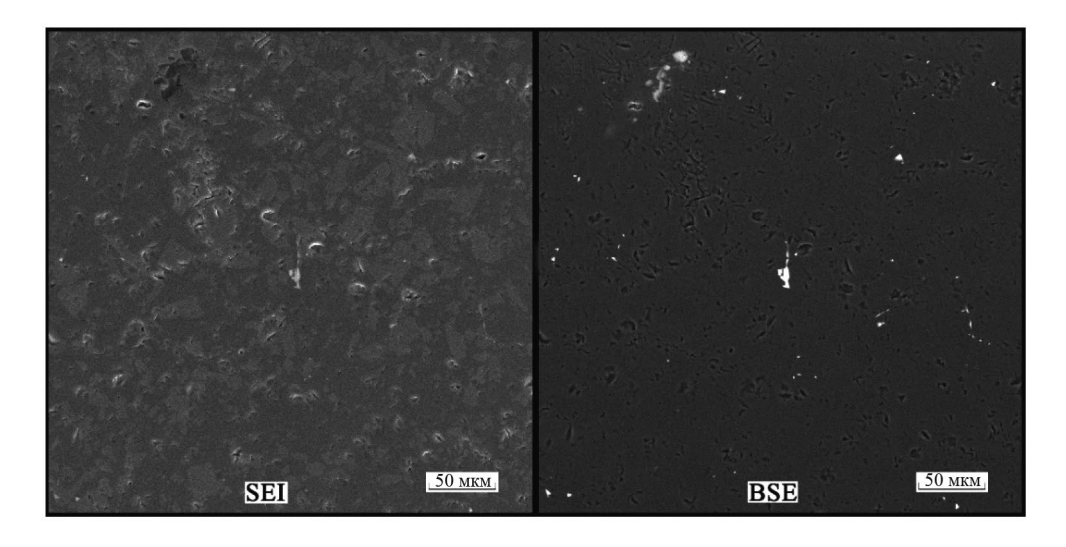


Рис. 6. СЭМ-микрофотографии полированной поверхности поликристаллического бора.

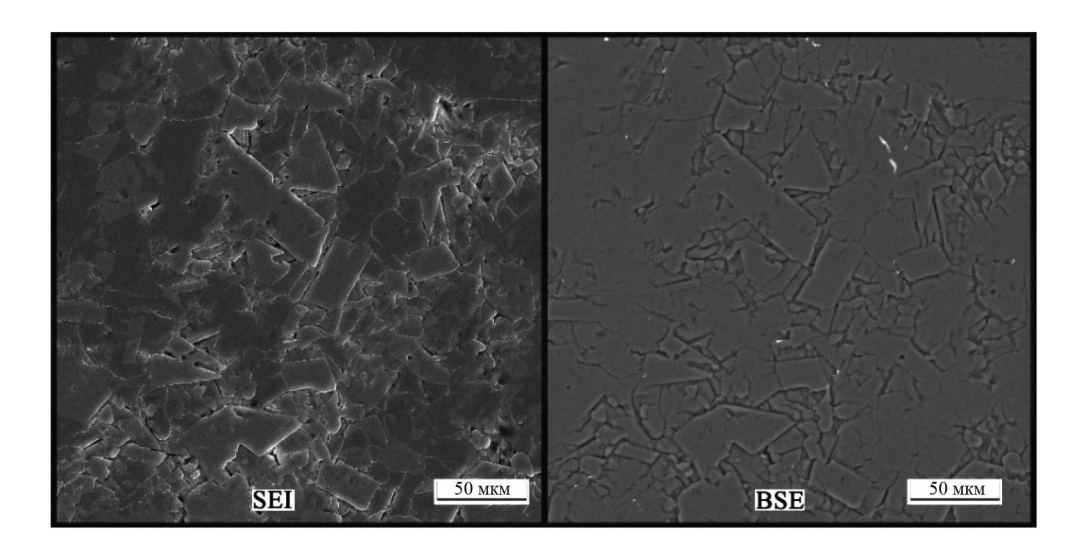
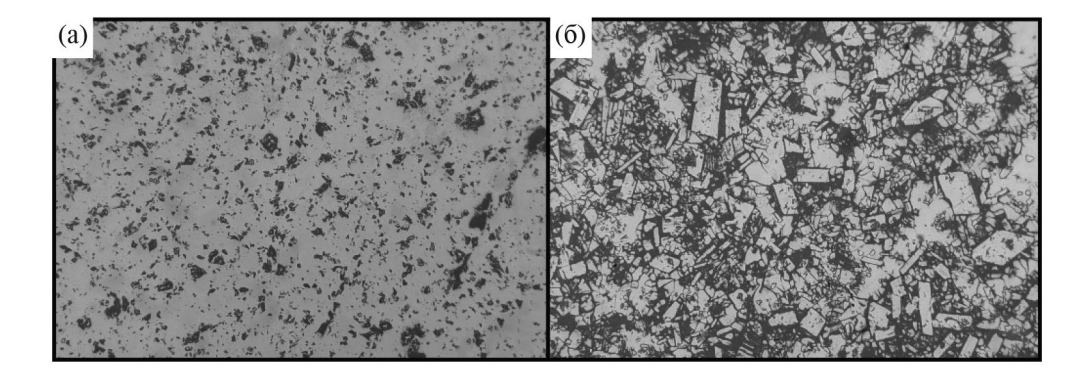


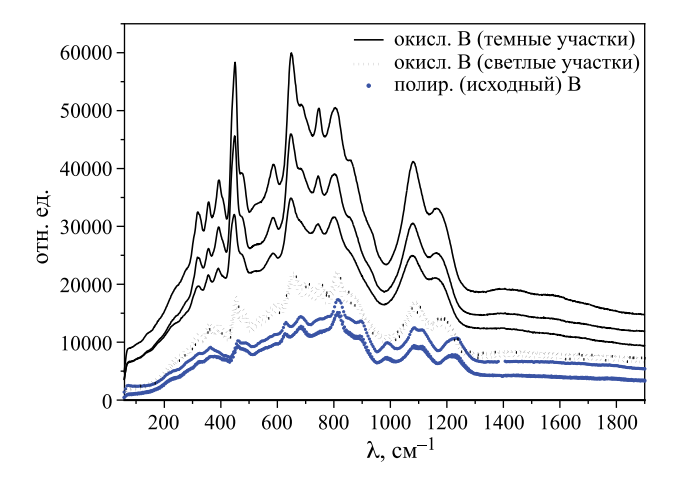
Рис. 7. СЭМ-микрофотографии поверхности поликристаллического бора после окисления при 700°C.



**Рис. 8.** Оптическая микрофотография поверхности образцов: а) отполированный бор, б) бор, окисленный при  $700^{\circ}$ C.

собой усредненные значения толщин на участке поверхности образца, облучаемого лазером эллипсометра (около 1 мм²).

На спектрах окисленной поверхности бора сохраняются пики, соответствующие  $\beta$ -ромбоэдрическому бору (в основном в интервале частот спектра  $300-500~{\rm cm^{-1}}$  и на частотах  $745,\,814,\,1083,\,1236~{\rm cm^{-1}}$ ), однако они сдвинуты влево относительно пиков исходного бора, что отражает наличие деформации кристаллической решетки бора в связи с встраиванием атомов кислорода (сдвиг более выражен на темных участках поверхности). Из спектров КРС окисленной поверхности исчезли пики  $\beta$ -ромбоэдрического бора на частотах  $630,\,895,\,990~{\rm cm^{-1}}$ , связанные с движением атомов бора в икосаэдрах. Появились новые пики на частотах  $391-393,\,585-595,\,648-654,\,704,\,857-860,\,922-928,\,951~{\rm cm^{-1}}$ , отсутствующие в образце исходного бора



**Рис. 9.** Спектры КРС, детектированные на поверхности образцов бора.

**Таблица 1.** Позиции пиков, детектированных на спектрах КРС поверхности бора (подчеркнут наиболее интенсивный пик спектра)

Отполированная поверхность (см <sup>-1</sup> )	Окисленная поверхность (см <sup>-1</sup> )		11
	Светлые участки	Темные участки	Интерпретация
323	321	320	β-В
363	358	355	β-В
_	393	391	Колебания O-O пар (B <sub>6</sub> O)
414	411	_	β-В
460	454	449	β-В
487	479	476	β-В
_	595	585	Колебания икосаэдрических атомов бора вблизи атомов кислорода (B(3)—O)
630	_	_	β-В
	654	648	Колебания икосаэдрических атомов бора вблизи атомов кислорода (В6О)
683	_	685	β-В
_	704	_	$A_1$ мода $\beta$ - $B_2O_3$
745	751	745	β-В
814	811	804	β-В (Колебания атомов бора в икосаэдре)
_	860	857	Симметричное растяжение связей В(3)—О
895	_	_	β-В (Колебания атомов бора в икосаэдре)
_	922	928	Искажения полярных треугольников, а также экваториального шестиугольника, где две из шести связей растянуты
	951	_	Симметричное растяжение связей $B(3)$ —O $B_1$ мода $\beta$ - $B_2$ O $_3$
990	_	_	β-В (Колебания атомов бора в икосаэдре)
1083	1083	1080	β-В Межикосаэдрические колебания бора (B-B)
1114	_	_	Межикосаэдрические колебания бора (В-В)
1236	1180	1164	β-В Колебания центрального атома бора

и связанные с образованием В<sub>2</sub>О<sub>3</sub> и В<sub>6</sub>О оксидных связей [20, 21], движением атомов бора вокруг атомов кислорода и движением О-О-пар. На данных частотах также сохраняется сдвиг влево для спектров с темных участков поверхности, по сравнению со светлыми участками. Наличие субоксида В О может косвенно указывать на наличие в пленке реакций декомпозиции типа  $2B_6O \leftrightarrow B_2O_2(\Gamma) +$ + 10B(тв.) в процессе отжига(16). Panee [11, 22] B<sub>6</sub>O в продуктах окисления бора фиксировался после отжига при температурах выше 1100°С. Пиков, соответствующих борным кислотам: метаборной  $HBO_{2}$  (780–790см<sup>-1</sup>), ортоборной  $H_{3}BO_{3}$  (B(OH)<sub>3</sub>)  $(495, 880 \text{ cm}^{-1}), \text{ H}_{2}\text{BO}_{3} (875-880, 1164 \text{ cm}^{-1}) \text{ Ha}$ спектрах КРС не было обнаружено [23–25]. Кроме этого, на исходной и окисленной поверхностях не было обнаружено пиков, соответствующих карбидам бора В<sub>4</sub>С и В<sub>10</sub>С (характеристический подъем и пики в области частот около 1590 см $^{-1}$ ) [26-28].

#### ВЫВОДЫ

Непосредственное in-situ наблюдение за процессом термического окисления поверхности поликристаллического бора показало, что кривые роста толщин от времени при 500, 600 и 700°C показывают общий характер: после достижения максимума толщины оксидной пленки наблюдается снижение ее толщины. Мы предполагаем, что это утоньшение связано с установлением на поверхности динамического равновесия между процессами роста пленки за счет диффузии ионов бора и кислорода и процессом испарения жидкого оксида. В процессе окисления изменяется морфология поверхности, что отражается в снижении показателя преломления подложки (чистого бора) в процессе отжига с 3.1 до 2.95. Спектры КРС окисленного бора показывают наличие на поверхности оксидов В2О3 и В<sub>6</sub>О, также скопление большей части оксидной фазы в порах и углублениях поверхности образца.

Работа выполнена в соответствии с государственным заданием Института химии твердого тела УрО РАН № АААА-А19-119031890028-0.

## СПИСОК ЛИТЕРАТУРЫ

- King M.K. // Combustion Science and Technology. 1973. V. 8. is. 5–6. P. 255. DOI: 10.1080/00102207308946648
- Mohan G., Williams F.A. // AIAA Journal. 1972.
   V. 10. № 6. P. 776–783. https://doi.org/10.2514/3.50210
- Liang D., Liu J., Zhou Y., Zhou J.// Combustion and Flame. 2017. V.185. P. 292. https://doi.org/10.1016/j.combustflame.2017.07.030
- Han L., Wang R., Chen W. et.al. // Catalysts. 2023.
   V.13. P. 378. https://doi.org/10.3390/catal13020378

- 5. *Ао В.*, *Чжоу Цз.-Х.*, *Ян В.-Цз. и др.* // Физика горения и взрыва. 2014. Т. 50. № 6. С. 47. 10.1134/S0010508214060070
- Chen B., Xia Z., Huang L., Hu J. // Processing Technology. 2017. V. 165. P. 34. https://doi.org/10.1016/j.fuproc.2017.05.008.
- 7. Sun Y., Chintersingh K.-L., Schoenitz M., Dreizin E.L. // J. Phys. Chem. C. 2019. V.123. P. 11807. 10.1021/acs.jpcc.9b03363
- 8. *Natan B.*, *Gany A*. // J. PROPULSION. 1991. V.7. № 1. P. 37. https://doi.org/10.2514/3.23291
- 9. *Yang W., Ao W., Zhou J. et.al.* // J. of propulsion and power. 2013. V. 29. № 5. P. 1207. 10.2514/1.B34785
- 10. *Hussmann B., Pfitzner M.* // Combustion and Flame. 2010. V.157. P. 803. 10.1016/j.combustflame.2009.12.010
- 11. *Rizzo H.F.* Oxidation of boron at temperatures between 400 and 1300°C in air. In: Kohn, J.A., Nye, W.F., Gaulé, G.K. (eds) Boron Synthesis, Structure, and Properties. Springer, Boston, MA, 1960. 189 P. https://doi.org/10.1007/978-1-4899-6572-1 21
- 12. *Chintersingh K.-L., Sun Y., Schoenitz M., Dreizin E.L.*// Thermochimica Acta. 2019. V.682. P. 178415 https://doi.org/10.1016/j.tca.2019.178415
- Moddeman W.E., Burke A.R., Bowling W.C., Foose D.S. // Surface and interface analysis. 1989. V. 14. P. 224. DOI:10.1002/SIA.740140503
- 14. *Пивкина А.Н.*, *Муравьёв Н.В.*, *Моногаров К.А. и др.* // Физика горения и взрыва. 2018. № 4. С.73. DOI 10.15372/FGV20180409
- 15. *Morita N., Yamamoto A.* // Japanese J.of Applied Physics. 1975. V. 14. № 6. P. 825. DOI: 10.1143/JJAP.14.825
- Wang Y., Trenary M. // Chem. Mater. 1993. V.5. P. 199. DOI: 10.1021/CM00026A008
- Werheit H., Filipov V., Kuhlmann U. et.al. // Adv. Mater. 2010. V.11. P. 023001. https://doi.org/10.1088/1468-6996/11/2/023001
- 18. *Parakhonskiy G., Dubrovinskaia N., Bykova E., et.al.* // Sci. Rep. 2011. V.1. P. 96. 10.1038/srep00096
- 19. *Richter W., Hausen A., Binnenbruck H.* // Phys. stat. sol. (b). 1973. V.60, P. 461. https://doi.org/10.1002/pssb.2220600149
- Herrmann M., Kleebe H.-J., Raethel J. et.al. // J. Am. Ceram. Soc. 2009. V.92.P.2368. DOI: 10.1111/j.1551-2916.2009.03197.x
- 21. Solozhenko V.L., Kurakevych O.O., Bouvier P. // J. of Raman Spectroscopy. 2009. V.40. № 8. P. 1078. DOI:10.1002/jrs.2243
- 22. *Rizzo H.F., Simmons W.C., Bielstein H.O.* // Materials Science. 1962. V. 109. № 11. P. 1079. DOI:10.1149/1.2425241

- 23. *Sasidharanpillai S., Arcis H., Trevani L., Tremaine P.R.* // J. Phys. Chem. B. 2019. V.123. P. 5147. DOI: 10.1021/acs.jpcb.9b03062
- 24. *Schmidt C., Thomas R., Heinrich W.* // Geochimica et Cosmochimica Acta. 2005. V. 69. № 2. P. 275. doi:10.1016/j.gca.2004.06.018
- 25. Larsson E., Donzel-Gargand O., Heinrichs J., Jacobson S. // Tribology International. 2022. V. 171. P. 107541. https://doi.org/10.1016/j.triboint.2022.107541
- 26. *Kuhlmann U., Werheit H.* // J.of Alloys and Compounds. 1994. V.205. P. 87. DOI:10.1016/0925-8388(94)90771-4
- 27. *Werheit H., Rotter H.W., Meyer F.D. et.al.* //J. of Solid State Chemistry. 2004. V.177. P. 569. doi:10.1016/j.jssc.2003.04.004
- 28. *Werheit H., Kuhlmann U., Laux M., Lundstrom T. //* Phys. stat. sol. (b). 1993. V.179. P. 489. https://doi.org/10.1002/pssb.2221790223